

Starkniederschlagshöhen und -spenden gemäß KOSTRA-DWD-2020

Rasterfeld 205187

(Zeile 205, Spalte 187)

Regenspende und Bemessungsniederschlagswerte in Abhängigkeit von Wiederkehrzeit T und Dauerstufe D

| Dauerstufe D | | Wiederkehrzeit T | | | | | | | | | | | | | | | | | |
|--------------|-----|------------------|------------|-------|------------|-------|------------|-------|------------|-------|------------|-------|------------|-------|------------|-------|------------|-------|------------|
| | | 1 a | | 2 a | | 3 a | | 5 a | | 10 a | | 20 a | | 30 a | | 50 a | | 100 a | |
| min | Std | mm | l / (s ha) | mm | l / (s ha) | mm | l / (s ha) | mm | l / (s ha) | mm | l / (s ha) | mm | l / (s ha) | mm | l / (s ha) | mm | l / (s ha) | mm | l / (s ha) |
| 5 | | 8,1 | 270,0 | 10,2 | 340,0 | 11,4 | 380,0 | 13,1 | 436,7 | 15,4 | 513,3 | 17,9 | 596,7 | 19,5 | 650,0 | 21,6 | 720,0 | 24,6 | 820,0 |
| 10 | | 10,8 | 180,0 | 13,4 | 223,3 | 15,1 | 251,7 | 17,2 | 286,7 | 20,4 | 340,0 | 23,6 | 393,3 | 25,7 | 428,3 | 28,5 | 475,0 | 32,4 | 540,0 |
| 15 | | 12,4 | 137,8 | 15,5 | 172,2 | 17,4 | 193,3 | 19,9 | 221,1 | 23,5 | 261,1 | 27,2 | 302,2 | 29,7 | 330,0 | 32,9 | 365,6 | 37,5 | 416,7 |
| 20 | | 13,7 | 114,2 | 17,1 | 142,5 | 19,2 | 160,0 | 21,9 | 182,5 | 25,9 | 215,8 | 30,0 | 250,0 | 32,7 | 272,5 | 36,2 | 301,7 | 41,2 | 343,3 |
| 30 | | 15,6 | 86,7 | 19,4 | 107,8 | 21,8 | 121,1 | 25,0 | 138,9 | 29,5 | 163,9 | 34,2 | 190,0 | 37,2 | 206,7 | 41,2 | 228,9 | 47,0 | 261,1 |
| 45 | | 17,6 | 65,2 | 22,0 | 81,5 | 24,7 | 91,5 | 28,3 | 104,8 | 33,4 | 123,7 | 38,7 | 143,3 | 42,1 | 155,9 | 46,7 | 173,0 | 53,2 | 197,0 |
| 60 | 1 | 19,2 | 53,3 | 24,0 | 66,7 | 26,9 | 74,7 | 30,8 | 85,6 | 36,4 | 101,1 | 42,2 | 117,2 | 45,9 | 127,5 | 50,9 | 141,4 | 58,0 | 161,1 |
| 90 | 1,5 | 21,7 | 40,2 | 27,0 | 50,0 | 30,4 | 56,3 | 34,7 | 64,3 | 41,0 | 75,9 | 47,5 | 88,0 | 51,8 | 95,9 | 57,3 | 106,1 | 65,3 | 120,9 |
| 120 | 2 | 23,5 | 32,6 | 29,4 | 40,8 | 33,0 | 45,8 | 37,8 | 52,5 | 44,6 | 61,9 | 51,7 | 71,8 | 56,3 | 78,2 | 62,3 | 86,5 | 71,0 | 98,6 |
| 180 | 3 | 26,5 | 24,5 | 33,0 | 30,6 | 37,1 | 34,4 | 42,4 | 39,3 | 50,1 | 46,4 | 58,1 | 53,8 | 63,3 | 58,6 | 70,1 | 64,9 | 79,8 | 73,9 |
| 240 | 4 | 28,7 | 19,9 | 35,9 | 24,9 | 40,3 | 28,0 | 46,1 | 32,0 | 54,4 | 37,8 | 63,0 | 43,8 | 68,7 | 47,7 | 76,1 | 52,8 | 86,7 | 60,2 |
| 360 | 6 | 32,2 | 14,9 | 40,2 | 18,6 | 45,2 | 20,9 | 51,7 | 23,9 | 61,1 | 28,3 | 70,8 | 32,8 | 77,1 | 35,7 | 85,4 | 39,5 | 97,3 | 45,0 |
| 540 | 9 | 36,2 | 11,2 | 45,1 | 13,9 | 50,7 | 15,6 | 58,0 | 17,9 | 68,5 | 21,1 | 79,4 | 24,5 | 86,5 | 26,7 | 95,8 | 29,6 | 109,1 | 33,7 |
| 720 | 12 | 39,2 | 9,1 | 49,0 | 11,3 | 55,0 | 12,7 | 62,9 | 14,6 | 74,3 | 17,2 | 86,1 | 19,9 | 93,8 | 21,7 | 103,9 | 24,1 | 118,4 | 27,4 |
| 1080 | 18 | 44,0 | 6,8 | 54,9 | 8,5 | 61,7 | 9,5 | 70,6 | 10,9 | 83,4 | 12,9 | 96,5 | 14,9 | 105,2 | 16,2 | 116,5 | 18,0 | 132,7 | 20,5 |
| 1440 | 24 | 47,7 | 5,5 | 59,6 | 6,9 | 66,9 | 7,7 | 76,5 | 8,9 | 90,4 | 10,5 | 104,7 | 12,1 | 114,1 | 13,2 | 126,3 | 14,6 | 143,9 | 16,7 |
| 2880 | 48 | 58,0 | 3,4 | 72,4 | 4,2 | 81,3 | 4,7 | 93,0 | 5,4 | 109,9 | 6,4 | 127,3 | 7,4 | 138,7 | 8,0 | 153,6 | 8,9 | 175,0 | 10,1 |
| 4320 | 72 | 65,0 | 2,5 | 81,2 | 3,1 | 91,1 | 3,5 | 104,3 | 4,0 | 123,2 | 4,8 | 142,7 | 5,5 | 155,4 | 6,0 | 172,2 | 6,6 | 196,1 | 7,6 |
| 5760 | 96 | 70,5 | 2,0 | 88,0 | 2,5 | 98,8 | 2,9 | 113,1 | 3,3 | 133,6 | 3,9 | 154,7 | 4,5 | 168,5 | 4,9 | 186,7 | 5,4 | 212,7 | 6,2 |
| 7200 | 120 | 75,1 | 1,7 | 93,7 | 2,2 | 105,2 | 2,4 | 120,4 | 2,8 | 142,2 | 3,3 | 164,7 | 3,8 | 179,5 | 4,2 | 198,8 | 4,6 | 226,5 | 5,2 |
| 8640 | 144 | 79,0 | 1,5 | 98,6 | 1,9 | 110,8 | 2,1 | 126,7 | 2,4 | 149,7 | 2,9 | 173,4 | 3,3 | 188,9 | 3,6 | 209,2 | 4,0 | 238,4 | 4,6 |
| 10080 | 168 | 82,5 | 1,4 | 103,0 | 1,7 | 115,7 | 1,9 | 132,3 | 2,2 | 156,3 | 2,6 | 181,1 | 3,0 | 197,3 | 3,3 | 218,5 | 3,6 | 248,9 | 4,1 |

Starkniederschlagshöhen und -spenden gemäß KOSTRA-DWD-2020

Rasterfeld 205187

(Zeile 205, Spalte 187)

Örtliche Unsicherheiten in Abhängigkeit von Wiederkehrzeit T und Dauerstufe D

| Dauerstufe D | | Wiederkehrzeit T | | | | | | | | |
|--------------|-----|------------------|-----|-----|-----|------|------|------|------|-------|
| | | 1 a | 2 a | 3 a | 5 a | 10 a | 20 a | 30 a | 50 a | 100 a |
| min | Std | ± % | ± % | ± % | ± % | ± % | ± % | ± % | ± % | ± % |
| 5 | | 19 | 20 | 20 | 21 | 22 | 22 | 23 | 23 | 24 |
| 10 | | 22 | 23 | 24 | 25 | 25 | 26 | 26 | 27 | 27 |
| 15 | | 23 | 25 | 25 | 26 | 27 | 28 | 28 | 28 | 29 |
| 20 | | 24 | 25 | 26 | 27 | 28 | 28 | 29 | 29 | 30 |
| 30 | | 24 | 26 | 26 | 27 | 28 | 29 | 29 | 29 | 30 |
| 45 | | 24 | 25 | 26 | 27 | 28 | 28 | 29 | 29 | 30 |
| 60 | 1 | 23 | 25 | 25 | 26 | 27 | 28 | 28 | 29 | 29 |
| 90 | 1,5 | 22 | 24 | 24 | 25 | 26 | 27 | 27 | 27 | 28 |
| 120 | 2 | 21 | 23 | 23 | 24 | 25 | 26 | 26 | 27 | 27 |
| 180 | 3 | 20 | 21 | 22 | 23 | 24 | 24 | 25 | 25 | 26 |
| 240 | 4 | 19 | 20 | 21 | 22 | 23 | 23 | 24 | 24 | 25 |
| 360 | 6 | 18 | 19 | 20 | 21 | 22 | 22 | 23 | 23 | 23 |
| 540 | 9 | 17 | 18 | 19 | 20 | 20 | 21 | 21 | 22 | 22 |
| 720 | 12 | 17 | 18 | 19 | 19 | 20 | 20 | 21 | 21 | 22 |
| 1080 | 18 | 17 | 18 | 18 | 19 | 19 | 20 | 20 | 21 | 21 |
| 1440 | 24 | 18 | 18 | 18 | 19 | 19 | 20 | 20 | 20 | 21 |
| 2880 | 48 | 19 | 20 | 20 | 20 | 20 | 21 | 21 | 21 | 21 |
| 4320 | 72 | 21 | 21 | 21 | 21 | 21 | 21 | 22 | 22 | 22 |
| 5760 | 96 | 22 | 22 | 22 | 22 | 22 | 22 | 22 | 23 | 23 |
| 7200 | 120 | 24 | 23 | 23 | 23 | 23 | 23 | 23 | 23 | 24 |
| 8640 | 144 | 25 | 24 | 24 | 24 | 24 | 24 | 24 | 24 | 24 |
| 10080 | 168 | 25 | 25 | 25 | 25 | 25 | 25 | 25 | 25 | 25 |

Parameter für abweichende T und D

Lokationsparameter ξ (Xi)

19,55019695

Skalenparameter α (Alpha)

6,74265991

Formparameter κ (Kappa)

-0,1

1. Koutsoyiannis-Parameter θ (Theta)

0,02304409

2. Koutsoyiannis-Parameter η (Eta)

0,71879455

Parameter für dauerstufenübergreifende Extremwertschätzung nach KOUTSOYIANNIS et al. 1998.

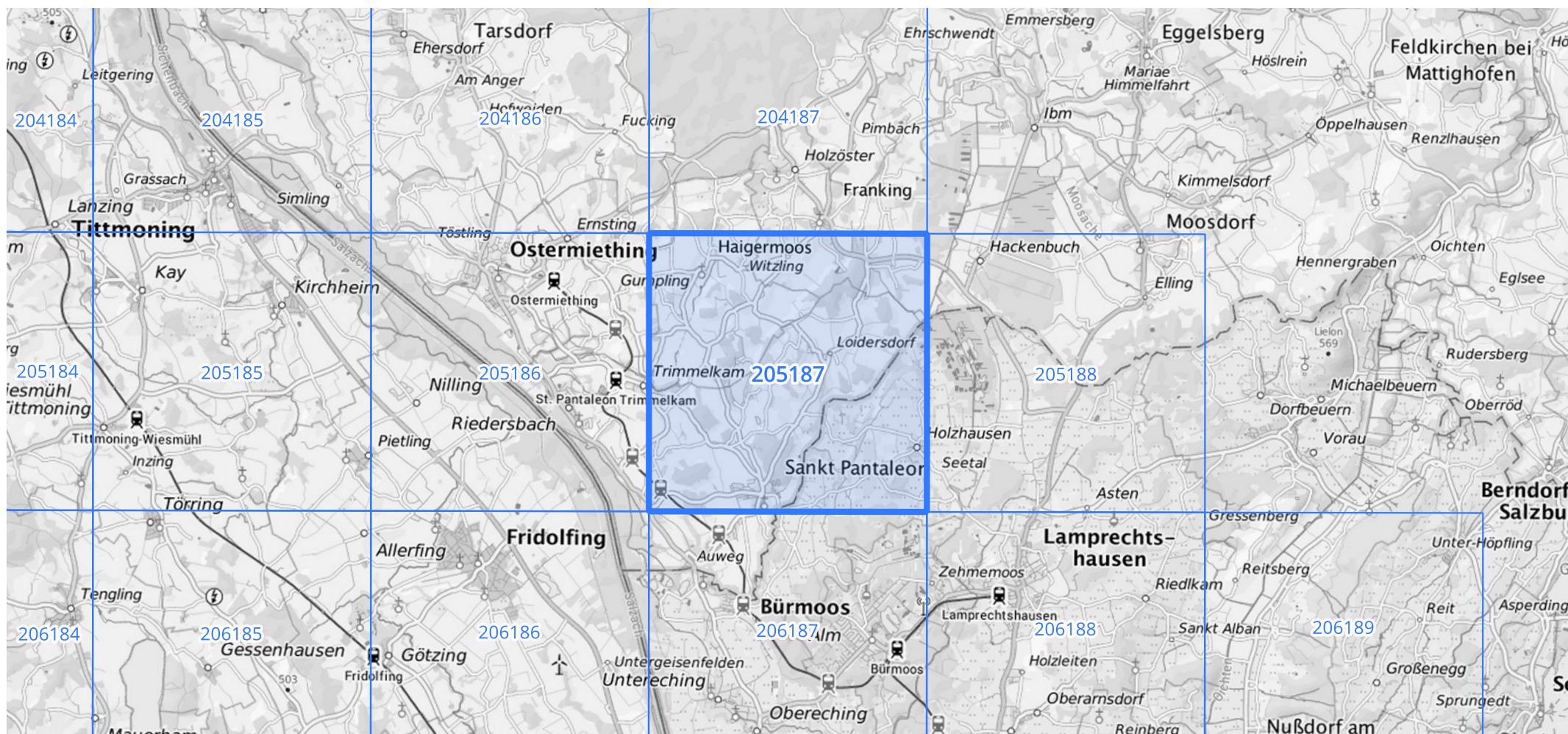
Siehe auch Anwendungshilfe zu KOSTRA-DWD-2020 des Deutschen Wetterdienstes.

Starkniederschlagshöhen und -spenden gemäß KOSTRA-DWD-2020

Rasterfeld 205187

(Zeile 205, Spalte 187)

Übersichtskarte des Rasterfeldes 205187, M 1 : 100 000



Quelle Rasterdaten: KOSTRA-DWD-2020 des Deutschen Wetterdienstes, Stand 12/2022.

Seite 3 von 3

Kartendarstellung: © Bundesamt für Kartographie und Geodäsie (2023), Datenquellen: https://sgx.geodatenzentrum.de/web_public/gdz/datenquellen/Datenquellen_TopPlusOpen.html

Für die Richtigkeit und Aktualität der Angaben wird keine Gewähr übernommen. Erstellt 01/2023.